

**Таблиця.** Основні кінетичні характеристики та критерії адекватності застосування моделі "1" для опису розкладу пероксиду водню у присутності системи МК-КАВ

| Зразок   | $k_{1i} \cdot 10^3$ , хв. <sup>-1</sup> | $k_d \cdot 10^2$ , хв. <sup>-1</sup> | $k_{1k} \cdot 10^3$ , хв. <sup>-1</sup> | $k_{1i}/k_d \cdot 10^2$ | $\sigma \cdot 10^5$ |
|--|---|--------------------------------------|---|-------------------------|---------------------|
| KAB  | 2,31                                    | 4,30                                 | 0,74                                    | 5,4                     | 3,61                |
| KAB@H <sub>2</sub> O <sub>2</sub>  | 0,59                                    | 2,45                                 | 0,22                                    | 2,4                     | 1,00                |
| [CuL] <sup>1</sup> [MnCl <sub>4</sub> ]                                    | 54,9                                    | 9,30                                 | 0,54                                    | 59                      | 3,51                |
| KAB/[CuL] <sup>1</sup> [MnCl <sub>4</sub> ]                                | 4,20                                    | 0,08                                 | 4,00                                    | 530                     | 9,92                |
| KAB@H <sub>2</sub> O <sub>2</sub> /[CuL] <sup>1</sup> [MnCl <sub>4</sub> ] | 0,92                                    | 1,76                                 | 0,45                                    | 5,2                     | 7,63                |
| [CuL] <sup>1</sup> [MnCl <sub>4</sub> ]                                    | 37,7                                    | 5,26                                 | 0,82                                    | 72                      | 2,78                |
| KAB/[CuL] <sup>1</sup> [MnCl <sub>4</sub> ]                                | 4,12                                    | 1,21                                 | 1,82                                    | 34                      | 3,29                |
| KAB@H <sub>2</sub> O <sub>2</sub> /[CuL] <sup>1</sup> [MnCl <sub>4</sub> ] | 1,20                                    | 0,79                                 | 0,52                                    | 15                      | 3,05                |
| [CuL] <sup>1</sup> [ZnCl <sub>4</sub> ]                                    | 44,9                                    | 7,97                                 | 0,40                                    | 56                      | 0,41                |
| KAB/[CuL] <sup>1</sup> [ZnCl <sub>4</sub> ]                                | 3,00                                    | 0,71                                 | 1,51                                    | 42                      | 5,23                |
| KAB@H <sub>2</sub> O <sub>2</sub> /[CuL] <sup>1</sup> [ZnCl <sub>4</sub> ] | 0,91                                    | 3,97                                 | 0,55                                    | 2,3                     | 3,12                |
| [CuL] <sup>1</sup> [ZnCl <sub>4</sub> ]                                    | 33,5                                    | 5,11                                 | 1,00                                    | 66                      | 2,15                |
| KAB/[CuL] <sup>1</sup> [ZnCl <sub>4</sub> ]                                | 4,90                                    | 0,56                                 | 4,11                                    | 88                      | 4,12                |
| KAB@H <sub>2</sub> O <sub>2</sub> /[CuL] <sup>1</sup> [ZnCl <sub>4</sub> ] | 2,62                                    | 1,41                                 | 1,61                                    | 19                      | 1,52                |

Як видно з таблиці, нанесення МК на КАВ веде до різкого зменшення активності металокомплексу на початковій ділянці (ефективна константа  $k_{1i}$  зменшується в 10-15 разів). Разом з цим, константа дезактивації також суттєво зменшується, що призводить в деяких випадках до більших значень відношення  $k_{1i}/k_d$  для нанесених систем. Основною особливістю розкладу пероксиду водню в присутності систем МК-КАВ, є невелика відмінність у значеннях  $k_{1i}$  і  $k_{1k}$ , що вказує на незначне зменшення активності каталізаторів в процесі реакції. Майже незмінна активність нанесених на КАВ металокомплексів пов'язана, на нашу думку, з ускладненням процесу дезактивації, про що свідчать аномально низькі значення константи цього процесу. Причиною стабілізації МК на поверхні КАВ може бути їх взаємодія з поверхневими групами активованого вугілля. В результаті утворюються іммобілізовані комплекси, що містять в координаційній сфері кисневмісні -ОН або -COOH групи. Оскільки для зразків неокисненого КАВ поверхнева концентрація цих груп порівняно незначна (до 0,6 ммол/г), іммобілізація катіону CuL<sup>2+</sup> буде проходити переважно за участю лише однієї поверхневої групи. Поверхня КАВ за рахунок адсорбційної взаємодії з лігандом стабілізує пласку будову МК і, таким чином, запобігає її розкладу при переході Cu<sup>2+</sup> ↔ Cu<sup>+</sup>. Знайдений ряд активності нанесених МК: KAB/[CuL]<sup>2</sup>[ZnCl<sub>4</sub>] > KAB/[CuL]<sup>1</sup>[MnCl<sub>4</sub>] > KAB/[CuL]<sup>1</sup>[MnCl<sub>4</sub>] > KAB/[CuL]<sup>1</sup>[ZnCl<sub>4</sub>], є, за виключенням другого зразка, протилежним, знайденому [2] ряду активності МК при гомогенному перебігу реакції розкладу H<sub>2</sub>O<sub>2</sub>, що вказує на істотний вплив поверхні КАВ на формування каталітичного активного центру.

Нанесення МК на KAB@H<sub>2</sub>O<sub>2</sub> веде до ще більшого зменшення констант, що характеризують каталітичну активність систем в реакції розкладу H<sub>2</sub>O<sub>2</sub>. Так само, як і

у випадку КАВ, застосування носія KAB@H<sub>2</sub>O<sub>2</sub> веде до стабілізації вихідної форми каталізатора, що відображається в незначній відмінності констант  $k_{1i}$  і  $k_{1k}$  (таблиця). Значне зменшення активності в цьому випадку пов'язано із взаємодією МК з декількома (двоюма) кисневмісними групами поверхні KAB@H<sub>2</sub>O<sub>2</sub>. Ці групи, входячи в координаційну сферу МК, блокують активні місця і гальмують розклад металокомплексу. Підтвердженням інтенсивної взаємодії МК з поверхневими групами є значне зростання адсорбції МК (в 1,5-2 рази) саме на окиснених зразках КАВ.

Таким чином, нанесення металокомплексів на поверхню активованого вугілля веде до стабілізації їх каталітично активного стану внаслідок взаємодії поверхневих кисневмісних груп з координаційною сферою центрального атома міді.

1. Каталіз. Механизмы гомогенного и гетерогенного катализа, классические подходы./ Гончарук В.В., Камалов Г.Л., Ковтун Г.А. и др. – К., 2002. 2. Дион В., Шевченко Д., Безуглова Т. и др. Каталитическая активность гетеробиметаллических M<sup>1</sup>/M<sup>2</sup> (M<sup>1</sup> = Ni, Cu; M<sup>2</sup> = Mn, Zn) комплексов в реакции разложения пероксида водорода // Теорет. и эксперим. химия. – 2005. – Т. 41, № 1. – С. 17–23. 3. Практикум з фізичної хімії / За ред. І.В.Кудряшова– М. – 1986. 4. Тарковская И.А. Окисленный уголь. – К., 1981. 5. Шмид Р., Сапунов В.Н. Неформальная кинетика. –М., 1985. 6. Bayo J. C., Claver C., Masdeu-Bulto A. M. Homogeneous catalysis with transition metal complexes containing sulfur ligands // Coordination Chemistry Reviews – 1999– Vol. 193–195. – Р. 73–145. 7. Cornils B., Herrmann W. Concepts in homogeneous catalysis: the industrial view // Journal of Catalysis. – 2003. – Vol. 216. – Р. 23–31. 8. Sergio Cenini, Emma Gallo, Alessandro Caselli et al. Coordination chemistry of organic azides and amination reactions catalyzed by transition metal complexes // Coordination Chemistry Reviews. – 2006 – Vol. 250. – Р. 1234–1253. 9. Ellis S., Kozhevnikov I. V. Homogeneous oxidation of methyl isobutyrate with oxygen catalysed by metal complexes: polyoxometalates versus metalloporphyrins and metallophthalocyanines // Journal of Molecular Catalysis A: Chemical – 2002. – Vol. 187. – Р. 227–235. 10. Matlab. The language of Technical Computing. Version 5.3.0.10183 (R11). Copyright 1984-1999. The MathWorks, Inc.

Надійшла до редколегії 12.02.08

УДК 154:22

I. Матейко, асп., В. Судавцова, д-р хім. наук, Н. Котова, канд. хім. наук, Н. Шаркіна, канд. хім. наук

## ТЕРМОДИНАМІЧНІ ВЛАСТИВОСТІ РОЗПЛАВІВ СИСТЕМ Si – РЗМ і Si – Al – РЗМ

**Методом калориметрії в ізотермічному високотемпературному калориметрі досліджені термохімічні властивості розплавів двокомпонентних систем Si – Dy (Ho, Er) і трикомпонентних систем Si – Al – Dy(Ho, Er) вздовж одного – двох перерізів для кожної системи при  $1800 \pm 10$  К. Встановлено, що всі вивчені сплави утворюються із виділенням значної кількості теплоти. У всьому інтервалі складів розраховані термохімічні властивості за рівняннями Бонньє-Кабо, Тупа, Колера з даних для подвійних граничних систем.**

**The thermochemical properties of melts of binary systems Si – Dy (Ho, Er) and three-component systems Si – Al – Dy(Ho, Er) along one – two cuts for each system at  $1800 \pm 10$  K are studied by the method of a calorimetry in the isothermal hyperthermal calorimeter. Established, that all studied alloys will be derived with allocation of a significant amount of a heat. In all an interval of structures the thermochemical properties are counted from the data for double boundary systems on equations Bonnier-Cabo, Tup, Colier.**

Лігатури, що містять РЗМ, широко використовують для легування, розкиснення, десульфурації сталей і

сплавів [1; 2]. Так як процеси перебігають в рідкій фазі, для їх оптимізації необхідні відомості про величину

енергії і тип міжчасткової взаємодії в розплавах, що містять РЗМ. Термодинамічні властивості рідких РЗМ-вмісних сплавів можуть дати відповіді на ці питання.

Нами вперше методом калориметрії в ізотермічному високотемпературному калориметрі досліджено термохімічні властивості розплавів двокомпонентних систем Si – Dy(Ho, Er) і трикомпонентних систем Si – Al –

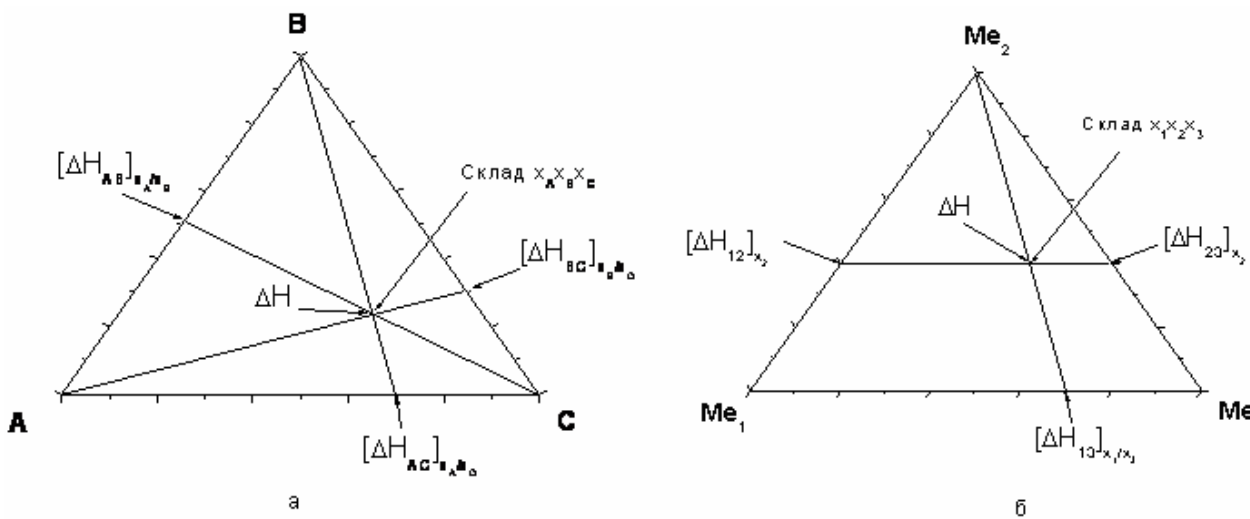
Dy(Ho, Er) вздовж одного – двох перерізів для кожної системи при  $1800 \pm 10\text{K}$ . Встановлено, що всі вивчені сплави утворюються із виділенням значної кількості теплоти. Так як РЗМ є тугоплавкими і хімічно активними в рідких середовищах як при низьких, так і високих температурах, нами було виконано дослідження у вузькому концентраційному інтервалі (табл. 1).

**Таблиця 1. Парціальні для РЗМ та інтегральні енталпії змішування (КДж/моль) в розплавах Si – РЗМ та коефіцієнти активності РЗМ**

| $x_{\text{РЗМ}}$         | Система Si – La (1821 K) |                               |                                  | Система Si – Gd (1813 K) |                               |                                  |
|--------------------------|--------------------------|-------------------------------|----------------------------------|--------------------------|-------------------------------|----------------------------------|
|                          | $-\Delta H$              | $-\bar{\Delta}H_{\text{РЗМ}}$ | $\gamma_{\text{РЗМ}} \cdot 10^3$ | $-\Delta H$              | $-\bar{\Delta}H_{\text{РЗМ}}$ | $\gamma_{\text{РЗМ}} \cdot 10^3$ |
| 0                        | 0                        | 117                           | 0,44                             | 0                        | 164                           | 0,188                            |
| 0,02                     | 3,2                      | 129                           | 0,199                            | 3,5                      | 181                           | 0,061                            |
| 0,04                     | 6,4                      | 155                           | 0,036                            | 7,2                      | 191                           | 0,0314                           |
| 0,06                     | 9,1                      | 182                           | 0,006                            | 11,9                     | 195,5                         | 0,0232                           |
| 0,08                     | 12,4                     | 186                           | 0,005                            |                          |                               |                                  |
| 0,1                      | 15,0                     | 180                           | 0,007                            |                          |                               |                                  |
| 0,12                     | 18,8                     | 167                           | 0,016                            |                          |                               |                                  |
| 0,14                     | 22,2                     | 155                           | 0,036                            |                          |                               |                                  |
| Система Si – Dy (1785 K) |                          |                               |                                  |                          |                               |                                  |
| 0                        | 0                        | 140                           | 0,964                            | 0                        | 198                           | 0,022                            |
| 0,02                     | 4                        | 187                           | 0,0432                           | 3,1                      | 176,5                         | 0,090                            |
| 0,04                     | 7,3                      | 205                           | 0,0132                           | 6,5                      | 151                           | 0,486                            |
| Система Si – Ho (1827 K) |                          |                               |                                  |                          |                               |                                  |
| 0                        | 0                        | 173                           | 0,141                            |                          |                               |                                  |
| 0,02                     | 2,9                      | 180                           | 0,089                            |                          |                               |                                  |
| 0,04                     | 6,9                      | 158                           | 0,3714                           |                          |                               |                                  |
| 0,06                     | 10                       | 147                           | 0,756                            |                          |                               |                                  |

Для системи Si – La енталпії змішування розплавів визначені в широкому інтервалі концентрацій при 1920 K [1]. Дані про це наведені нижче (кДж/моль).

|                              |             |               |              |                |                |                |                |              |
|------------------------------|-------------|---------------|--------------|----------------|----------------|----------------|----------------|--------------|
| $x_{\text{La}}$              | 0           | 0,05          | 0,10         | 0,15           | 0,20           | 0,25           | 0,30           | 0,35         |
| $-\bar{\Delta}H_{\text{La}}$ | $162 \pm 7$ | $160 \pm 4$   | $155 \pm 4$  | $148 \pm 3$    | $139 \pm 3$    | $122 \pm 3$    | $94 \pm 3$     | $53 \pm 5$   |
| $-\bar{\Delta}H_{\text{Si}}$ | 0           | $0,1 \pm 3$   | $0,5 \pm 3$  | $1 \pm 3$      | $4 \pm 3$      | $8 \pm 3$      | $19 \pm 3$     | $39 \pm 3$   |
| $-\Delta H$                  | 0           | $8,1 \pm 0,2$ | $16 \pm 0,3$ | $23,5 \pm 0,4$ | $30,7 \pm 0,5$ | $36,8 \pm 0,6$ | $41,6 \pm 0,6$ | $44 \pm 0,7$ |



**Рис. 1. Схема визначення  $\Delta H$  потрійної системи А – В – С за рівняннями Тупа і Бонньє-Кабо (а) та за рівнянням Колера (б)**

Із  $\bar{\Delta}H_{\text{РЗМ}}$  розраховані коефіцієнти активності  $\gamma_{\text{РЗМ}}$ . Ці дані також наведені в табл. 1. Для всіх розплавів енталпії змішування екзотермічні, близькі між собою і корелюють із значеннями  $\Delta H$  силіцидів.

Для розширення уявлень про природу і характер міжчасткової взаємодії в рідких сплавах, складних в експериментальному відношенні, доцільно використати термодинамічні дані для інтерметалідів. Ми встановили, що енталпії утворення тугоплавких сполук, що

плавляться конгруентно, і близьких за складом до розплаву, в межах експериментальних похибок співпадають. Так як енталпії утворення силіцидів Dy, Er, Ho визначені методом прямої реакційної калориметрії і встановлені в даній роботі для розплавів на основі силіцию, корелюють між собою, ми змоделювали енталпії змішування вивчених двокомпонентних сплавів в рідкому стані. Значення  $\Delta H$  наведені нижче (в кДж/моль).

| $x_{\text{PZM}}$ | 0,1 | 0,2 | 0,3 | 0,4 | 0,5 | 0,6 | 0,7 | 0,8 | 0,9 |
|------------------|-----|-----|-----|-----|-----|-----|-----|-----|-----|
| <b>Si – Dy</b>   | -20 | -35 | -50 | -64 | -69 | -65 | -50 | -35 | -20 |
| <b>Si – Ho</b>   | -20 | -40 | -60 | -75 | -81 | -76 | -63 | -42 | -20 |
| <b>Si – Er</b>   | -20 | -40 | -60 | -80 | -85 | -75 | -60 | -40 | -20 |

Видно, що ентальпії змішування розплавів бінарних систем Si – Ho(Er) співпадають між собою в межах похибок експерименту, а для Si – Dy вони є менш екзотермічними. Це свідчить про більш слабку взаємодію між силіциєм та диспрозієм порівняно із сплавами Si – Ho(Er).

а) Боньє-Кабо

$$\Delta H = \frac{x_1}{(1-x_2)} \Delta H_{12} \Big|_{(x_1^{12}=1-x_1, x_2^{12}=x_2)} + \frac{x_3}{(1-x_2)} \Delta H_{23} \Big|_{(x_2^{23}=x_2, x_3^{23}=1-x_3)} + (1-x_2) \Delta H_{13} \Big|_{(x_1^{13}=\frac{x_1}{(x_1+x_3)}, x_3^{13}=\frac{x_3}{(x_1+x_3)})};$$

б) Тупа

$$\Delta H = \frac{x_1}{(1-x_2)} \Delta H_{12} \Big|_{(x_1^{12}=1-x_1, x_2^{12}=x_2)} + \frac{x_3}{(1-x_2)} \Delta H_{23} \Big|_{(x_2^{23}=x_2, x_3^{23}=1-x_3)} + (1-x_2)^2 \Delta H_{13} \Big|_{(x_1^{13}=\frac{x_1}{(x_1+x_3)}, x_3^{13}=\frac{x_3}{(x_1+x_3)})}.$$

Показано, що рівняння Боньє-Кабо дозволяє розрахувати  $\Delta H$ , близькі до експериментально встановлених. Встановлено, що для рідких сплавів потрійних систем Si – Al – Dy(Ho, Er) мінімуми  $\Delta H$  знаходяться на сплавах двокомпонентних систем Si – Me (Dy, Ho, Er).

Щоб одержати термохімічні властивості у всьому інтервалі складів, ми розрахували їх за рівняннями Боньє-Кабо, Тупа, Колера з даних для подвійних граничних систем.

- Есин Ю.О., Колесников С.П., Баев В.М. Энталпии образования жидкых бинарных сплавов лантана с кремнием и германием // Журн. физ. химии. – 1980. – Т. 54, № 2. – С. 485-486.
2. Meschel S.V., Kleppa O.J. Thermochemistry of alloys transition metals and lanthanide melts with some IIIB and IVB elements in the periodic table // J. Alloys. Comp. – 2001. – Vol. 321, № 1. – P. 183-200.

Надійшла до редколегії 12.02.08